

Gitter

$\text{SiH}_2^+$  ( A.P.)

8826

1963

Saalfeld F.E., Svec H.J.  
Inorg.Chem., 1963, 2, N 1, 46-50

PX., 1963, 24656



μ 10

orig

$\text{SiH}_2^+(r)$  АКФ

2613-IVTKB

Медведев В. А.

Эксперимент однозначно подтверждён  
ион  $\text{SiH}_2^+(r)$ , 4с.

$\text{SiH}_2(\text{r})$

$\text{SiHf}$

~~PPH~~

2612-IVTKB

Левченко В.Н.

Экспериментальные образцы  $\text{SiH}_2(\text{r}), \text{гс.}$

Bp - 83.26 - XIV

1967

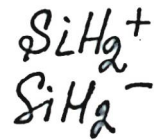
$\text{SiH}_2$

$\Delta H$

Saalfeld F. Z.  
McDowell M. V.

Morgan. Cheee., 6 (1), 96.

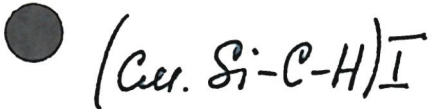
(Acc.  $\text{H}_2$  As  $\text{SiH}_3$ )



Potzinger P.,  
Zampe F.W.

1970  
Mg-Tl-Cl  
BGP-147-1

$\Delta H_f$  J. Phys. Chem., 1940,  
44, n 3, 584.



$\text{SiH}_2$

XIV - 432

1971

$\text{SiH}_3$

21 Б790. Абсолютные энтропии  $\text{SiH}_2$  и  $\text{SiH}_3$ .  
 John P., Purnell J. H. The absolute entropies of  $\text{SiH}_2$  and  $\text{SiH}_3$ . «J. Organometal. Chem.», 1971, 29, № 2, 233—236 (англ.)

$k_p$   
 $S^o_T$

С использованием спектроскопически определенных параметров молекул в интервале  $T-p$  200—900° К с шагом 100° вычислены и табулированы значения абр. энтропии, свободной энергии  $\text{SiH}_3$  и синглетного состояния  $\text{SiH}_2$ . Рассчитаны (при 600° К) константы равновесия р-ций  $\text{SiH}_3 + \text{H} \rightleftharpoons \text{SiH}_2 + \text{H}_2$  ( $K = 10^{15,9}$ ) и  $\text{SiH}_3 + \text{SiH}_3 \rightleftharpoons \text{SiH}_2 + \text{SiH}_4$  ( $K = 10^{11,3}$ ). Сделан вывод, что пиролиз силана протекает преимущественно по р-ции:  $\text{SiH}_4 \rightarrow \text{SiH}_3 + \text{H}$ . Л. Гузей

X. 1971. 21

SiH<sub>2</sub>

XIV - 732

1981

DS<sup>0</sup>

298

542641 Absolute entropies of SiH<sub>2</sub> and SiH<sub>3</sub>. John, R.; Purnell, J. H. (Univ. Coll. Swansea, Swansea, Wales). *J. Organometal. Chem.* 1971, 29(2), 233-6 (Eng). The abs. entropies and free energy functions at 200-900°K for the singlet state of silene (SiH<sub>2</sub>) have been calcd. using recently established mol. parameters. Similar calcns. have been performed for silyl (SiH<sub>3</sub>) using recently measured parameters and a reasonable est. of the Si-H bond length. These data allow estn. of the equil. consts. of the reactions SiH<sub>4</sub> ⇌ SiH<sub>3</sub> + H, and SiH<sub>4</sub> ⇌ SiH<sub>2</sub> + H<sub>2</sub>. The implications of the above data with respect to the mechanism of monosilane pyrolysis are outlined.

+1

C.A. 1981. 95. 8



$\text{SiH}_2^+(\text{g})$

[Connieck 9581]

[1972]

$\text{SiH}_3^+(\text{g})$   
 $\text{SiH}_3(\text{g})$   
m.g. cb - 64

Peadley G.B., Friend B.S.  
CATCH TABLES. silicon  
Compounds Sussex,  
Univ. of Sussex, Brighton,



1972

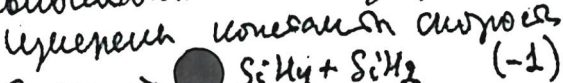
1973

 $\text{SiH}_2 \Delta f H$ 

John P., Purnell Y. H.

Y. Chem. Soc., Faraday Trans, I, 1973, 69,

N8, 1455-61

Arrhenius Parameters for Silene  
Insertion Reactions.Hyper coherent hyper gaseous  
monocarbene with hypergaseous  
hyper coherent carbons

$$E_{-1} = 5400 \text{ J.mol}^{-1} \pm 4,6$$

Joh D  
000 30400XXX  $\frac{28}{2}$

Адміністративний K<sub>1</sub> та міжгалузеві та промислові  
коефіцієнти A<sub>14</sub> E<sub>1</sub>. Задача, що має А-1, є  
результатом АМІ<sup>0</sup> SiH<sub>2</sub> та відповідає К-1 та  
K-коеквівалентні розрахунки в одній

~~103/1~~ або 2,2 до 2,0. ~~Задача~~ Відповідні залежності  
значеннях з критичними, як умови АМІ<sup>0</sup>SiH<sub>2</sub>  
 $\approx 242,4 \text{ кг} \cdot \text{мм}^{-2}$  - це критич. Т.ч.

Відповідно  $1/1_T$  в умові обсяга залежності  
від критич. до 200 та відповідні  
значення АМІ<sup>0</sup> SiH<sub>2</sub>  $\bullet = 242,2$   $(\pm 4,6)$  (Так чи інакше  
важливо  $T_{\text{крит}}$ )

$\text{SiH}_2$

Bsp XIV - 6273 H975

Дыдаков В.В.,

( $\text{CH}_2$ )  
( $\text{CH}_3$ )

Ис. опиц. Журнал, 1975

49 № 1036-37



(есл.  $\text{CH}_2$ , -)

Om. 30409]

SiH<sub>2</sub> APH

1975

Vanderwielen A.Y., Ring M.A., O'Neal H.E.

YACS, 1975, 97, 993 - 998

SiH<sub>2</sub> NH

1379

Newman C. G., O'Neal H. E., Ring M. A., Beska  
F, Skingley N.  
Int. J. Chem. Kinet., 1979, II, 1167

SiH<sub>2</sub>, SiH<sub>3</sub>  
SiCl<sub>2</sub>, SiCl<sub>3</sub>

SiH

1981

Bell T.N., Perkins K.A., Perkins P.G.  
Y. chem. Soc., Farad Trans. I, 1981, 77, 1779

Petrovsky

Affl <sup>0</sup> <sub>298</sub>	SiH <sub>2</sub>	55,3
	SiH <sub>3</sub>	49,1
	SiCl <sub>2</sub>	46,9 - 39,9
	SiCl <sub>3</sub>	- 75,5

Bellwerte bei SiH<sub>2</sub> y  
gauvux w<sup>o</sup> impuret

bei SiH<sub>3</sub> Bellwerte ocrabare  
w<sup>o</sup> imp. yape Pottzinger  
P., Lampe F.W., Y. Ph. Ch.,  
1970, 74, 719. W<sup>o</sup> eckenwerte  
ber. fuer d<sup>r</sup> SiH<sub>3</sub> (28) = 8,3  
Km P.L., cobaltwasser gauvux  
10,5 w<sup>o</sup> gauvux, T<sub>0</sub> 71  
AP w<sup>o</sup> PL w<sup>o</sup> gauvux 53,7 Km  
BPP ocrabare w<sup>o</sup>  
gauvux, gauvux, gauvux

in shortleaf forests (coarse & fine woody & leaf litter  
Walsh 1981 in Silverticks).

SiH<sub>2</sub>      NH<sub>2</sub>

1982

Dzarmoski Y., Rickborn S.F., O'Neal H.F.,  
Ring M.A.,  
Organometallics, 1982, 1, 1917

1981

SiH<sub>2</sub>, SiI<sub>2</sub>

APM

Walsh R.

Acc. Chem.

Accounts

Permeabilities

$$\text{APM}_{298}^0 \text{SiH}_2 = 58,0 \text{ ml cm}^{-2} \text{ day}^{-1}$$

$$\text{APM}_{298}^0 \text{SiI}_2 = 46,4 \text{ ml cm}^{-2} \text{ day}^{-1}$$

$$\text{SiH}_2 = -39,5$$

$$\text{SiI}_2 = -76,0$$

SiH<sub>2</sub> - не окупаемые  
суммы не купоны  
ценные (John P.)

Purnell J.H., Y.Ch.Soc. Farad.  
Trans., I, 1973, 69, 1455; Purnell

Walsh R., Proc. R. Soc. London, 1971, A 293, 543) ;  
germane (Yohn, Burn. 1973) ; Bowrey M., Burnell Y.H.,  
Proc. R. Soc. London, 1971, A 321, 341) ; *Tymchuk & Head-*  
*curane* (VanderWerf A.J., Ring H.A., O'Neal H.E.  
JACS, 1975, 97, 993)

Berries SiH<sub>3</sub> boraceous w D(H-SiH<sub>3</sub>) no  
Doncaster A.H., Walsh R., Int. J. Chem. Kinet.,  
1981, 13, 503 n J. Chem. Soc. Chem. Commun., 1979, p. 904

$\text{SiH}_2(z)$  [Orn. 2/314] 1982

McMillen D.F., Golden D.M.,

$\Delta_f H^\circ$  Ann. Rev. Phys. Chem. 1982,  
33: 493-532.

Energy  
Progress

Sik<sup>+</sup>      [DM-20033]      1984

Melal A.I., Zahran N.F.,  
et al.,

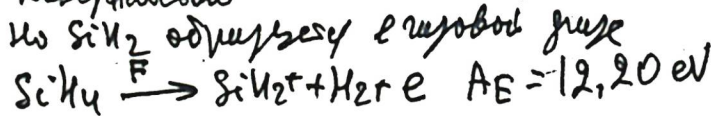
Int. J. Mass. Spectrom.

and Ion. Process., 1984,

61, N2,

Field desorption and reactions of silane  
on tungsten at high electron fields! C.R.

Исследовано расщепление отрицательных ионов SiH<sub>4</sub>.  
 Кривая расщепления имеет вид SiH<sub>4</sub> → SiH<sub>2</sub><sup>+</sup> + H<sub>2</sub> + e<sup>-</sup>.  
 Помимо SiH<sub>2</sub><sup>+</sup> выявлены ионные частицы Si<sup>+</sup>, SiH<sup>+</sup>, SiH<sub>3</sub><sup>+</sup>, SiH<sub>4</sub><sup>+</sup> и Si<sub>2</sub><sup>+</sup>.  
 Кривая расщепления имеет вид SiH<sub>4</sub> → SiH<sub>2</sub><sup>+</sup> + H<sub>2</sub> + e<sup>-</sup>.  
 Помимо SiH<sub>2</sub><sup>+</sup> выявлены ионные частицы Si<sup>+</sup>, SiH<sup>+</sup>, SiH<sub>3</sub><sup>+</sup>, SiH<sub>4</sub><sup>+</sup> и Si<sub>2</sub><sup>+</sup>.  
 Кривая расщепления имеет вид SiH<sub>4</sub> → SiH<sub>2</sub><sup>+</sup> + H<sub>2</sub> + e<sup>-</sup>.  
 Помимо SiH<sub>2</sub><sup>+</sup> выявлены ионные частицы Si<sup>+</sup>, SiH<sup>+</sup>, SiH<sub>3</sub><sup>+</sup>, SiH<sub>4</sub><sup>+</sup> и Si<sub>2</sub><sup>+</sup>.



1985

SiH<sub>4</sub><sup>+</sup>  
SiH<sub>2</sub><sup>+</sup>  
SiH<sub>3</sub><sup>+</sup>

(SiH),<sub>g</sub>

103: 169275z The photoionization spectra of effusive and supersonic molecular beams of monosilane. Ding, A.; Cassidy, R. A.; Cordis, L. S.; Lampe, F. W. (Hahn-Meitner-Inst., Kernforsch. Berlin, D-1000 Berlin, 39 Fed. Rep. Ger.). *J. Chem. Phys.* 1985, 83(7), 3426-32 (Eng). Effusive and supersonic mol. beams of SiH<sub>4</sub> were ionized by photons from the Berlin synchrotron light source (BESSY). Photoionization efficiency curves were taken as a function of wavelength (50-120 nm) for a no. of fragment ions. The main products obsd. were SiH<sub>3</sub><sup>+</sup> and SiH<sub>2</sub><sup>+</sup>. No appreciable SiH<sub>4</sub><sup>+</sup> was detected and <5% of the signal was due to lower fragments (SiH<sup>+</sup>, Si<sup>+</sup>). The threshold energies  $E_{thr}$ , the std. enthalpy of formation  $\Delta H^{\circ}_{f,g}$  of the fragment ions SiH<sub>2</sub><sup>+</sup> and SiH<sub>3</sub><sup>+</sup> and the ionization potentials  $I_i$  of the corresponding radicals were detd. Addnl. ions (predominantly Si<sub>2</sub>H<sub>4</sub><sup>+</sup>, Si<sub>2</sub>H<sub>6</sub><sup>+</sup>, Si<sub>2</sub>H<sub>7</sub><sup>+</sup>) were obsd. when photoionizing a supersonic mol. beam of Si.

⑦

☒



SiH<sub>3</sub><sup>+</sup>

C.A. 1985, 103, N 20

SiH, SiH<sub>2</sub>, SiCl,  
SiCl<sub>2</sub>, SiCl<sub>2</sub>,  
SiCl<sub>3</sub>, SiHCl

07. 22 055

1985

6 Б3048. Теоретическое исследование теплот образования соединений  $\text{SiH}_n$ ,  $\text{SiCl}_n$  и  $\text{SiH}_n\text{Cl}_m$ . A theoretical study of the heats of formation of  $\text{SiH}_n$ ,  $\text{SiCl}_n$ , and  $\text{SiH}_n\text{Cl}_m$  compounds. Ho P., Coltrin M. E., Binkley J. S., Melius C. F. «J. Phys. Chem.», 1985, 89, № 21, 4647—4654 (англ.)

Энергии, найденные из неэмпирич. расчетов электронных структур, совместно с эмпирич. поправочными коэф. для Si—H и Si—Cl связей использованы для расчета  $\Delta H(\text{обр.})$  при 0 и 298 К всего ряда соединений  $\text{SiH}_n$ ,  $\text{SiCl}_n$  ( $n \leq 4$ ) и  $\text{SiH}_n\text{Cl}_m$  ( $n+m \leq 4$ ). Точность расчетов оценивается в  $\pm 3$  ккал/моль. Величины  $\Delta H(\text{обр.})$  (здесь и далее при 298 К), отсутствующие в справочной лит-ре, составили  $\text{SiH}_2$  68,1,  $\text{SiHCl}$  17,0,  $\text{SiH}_2\text{Cl}$  7,8,  $\text{SiHCl}_2$  —34,3 ккал/моль. Нек-рые из справочных величин должны быть исправлены, поскольку расчетные значения  $\Delta H(\text{обр.})$   $\text{SiH}_3$  47,8 (в CATCH Tables принято 54,2),  $\text{SiCl}$  37,9 (JANAF 47,4, CATCH 46,9) и  $\text{SiCl}_3$  —76,5 ккал/моль (JANAF —93,3 ккал/моль) в пределах погрешностей согласуются с новыми лит. данными. Подчеркивается, что вычисл. величина  $\Delta H(\text{обр.})$   $\text{SiH}_2$  выше  $\sim$  на 10 ккал/моль лит.

Р. Г. Сагитов

1986, 19, N 6



$\text{SiH}_2$

Om. 22042/

1985

$\Delta_f H$

(pacrem) Z. Phys. Chem., 1985, 89,  
N II, 2198-2203.

$\Delta \mu H (L^+ H^-) = 65,9$  (238 K)

✓

$\text{SiH}_4^+$

от 23310

1986

16 Б1123. Фотоионизация масс-спектрометрия  
силона. Photoionization mass spectrometry of silane.  
Вöгlin K., Heinis T., Jungent M. «Chem. Phys.», 1986,  
103, № 1, 93—100 (англ.)

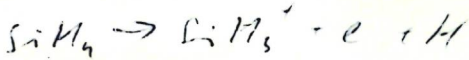
Методом МС измерены кривые эффективности фотопрекращения молекулы  $\text{SiH}_4$  в обл. энергий возбуждения 11—20 эВ. Обнаружены фрагменты  $\text{SiH}_m^+$  с  $m = 0—3$ , по значениям Пт появления к-рых найдено, что теплоты образования  $\Delta H_f^\circ$  ионов  $\text{SiH}_2^+$  и  $\text{SiH}_3^+$  ниже  $1100 \pm 5$  и  $984 \pm 5$  кДж/моль и  $D_0^\circ (\text{H}_2\text{Si}^+ - \text{H}) = 3,46$  эВ,  $D_0^\circ (\text{HSi}^+ - \text{H}) = 2,77$  эВ. Для всех фрагментов в диапазоне 14—18 эВ обнаружена автоионизация. структура, часть линий к-рой отнесена на основе проведенных неэмпирич. расчетов в приближении замороженных основных орбиталей с учетом конфигурац. взаимодействия к возбуждению ридберговских серий типа  $npt_2$ , сходящихся к состоянию  ${}^2A_1$  иона  $\text{SiH}_4^+$ .

О. А. Басченко

ж. 1986, 19, N 16

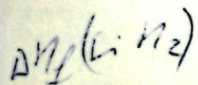
(H)

$\text{SiH}_3^+ (\Delta H_f^\circ) (D_0^\circ)$

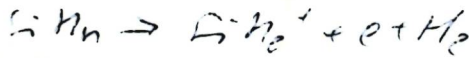


$$77.318 \quad 98.5 \pm 5 \quad 216.035$$

$$A = 1155.7 = 11.98$$



$\downarrow \text{no}$   
 $\text{f.p. } \text{O}_\text{m.m.}$   
!!



$$77.318 \quad 1140 \pm 5 \quad 0$$

$$A = 1055.68 = 10.9728$$

H B

$\text{SiH}_2^+$

OM. 23310

1986

$\text{SiH}_3^+$

( $\text{SiH}_4^0$ )



C. A. 1986, 104, N 18.

eca

*SiH<sub>2</sub>*

*Он 25.5.43*

*1986*

2 Б4317. Кинетика реакции силилена с водородом и возможное объяснение расхождений в величине  $\Delta H^\circ_f(SiH_2)$ . Kinetic of the reaction of silylene with hydrogen and a possible resolution of discrepancies over  $\Delta H^\circ_f(SiH_2)$ . Grey H. Monty, Walsh Robin, Watts Ivy M. «J. Chem. Soc. Chem. Commun.», 1986, № 15, p. 1189—1191 (англ.)

Расчетом по методу RRKM (Rice—Ramsperger—Kassel—Marcus), проведенным с использованием некоторых новых эксперим. данных, найдено согласование существующих расхождений результатов двух последних исследований р-ции между SiH<sub>2</sub> и H<sub>2</sub>. Расчет дал величину  $\Delta H^\circ_f(SiH_2) = 65,3 \pm 1,5$  ккал/моль. В. В. Тесленко

*SiH<sub>2</sub>°*

X. 1987, 19, № 2.

QSSM

$$\text{SiH}_2 \text{ DH} = 65,3^{\pm 1,5} \text{ kJ/mol} = \cancel{250000}$$

1985

DTT

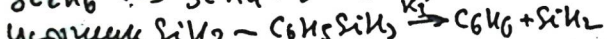
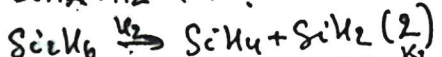
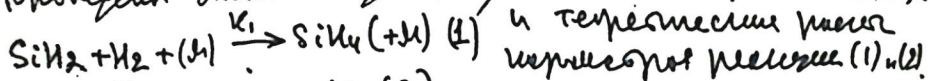
Frey H. ~~Müller~~, Walsh ~~Roth~~,  
Watts ~~T.M.~~

J. Chem. Soc., Chem. Commun., 1986;  
N 15 (~~15~~), 1189-1191

C.A. 1987 kinetics of reaction of silylene with  
106: 9243; of discrepancies over the heat of  
formation of silylene

20T

Продолжит докн. исследование кинетика гидрирования (1).



Система подавлена также в мез. темпах для изучения  
состава газов в гидриде.

$$K_{1,1} = 1,42 \cdot 10^{-35}, \Delta_2 G_{1,1}^\circ = 47,5 \text{ кДж/моль}$$

$$\Delta S_{1,1}^\circ = 31,5 \text{ кДж/К}, \Delta_2 H_{1,1}^\circ = 65,2 \text{ кДж} + 1,5$$

$$\Delta H_{\text{дис.}} \Delta H_{\text{SiH}_4}^\circ \text{ в YANAF}, \Delta H_{\text{дис.}} \Delta H_{\text{SiH}_2}^\circ = 65,2 \text{ кДж} + 1,5$$

$$\Delta_2 G_{2,2}^\circ = 34,8 \text{ кДж} / 585 \text{ К}. \text{ Комбинируя с } \Delta S_{2,2}^\circ = 14 \text{ кДж/К},$$

$$\Delta_2 H_{2,2}^\circ = 54,5 \text{ кДж} / 585 \text{ К}, \Delta_2 U_{2,2}^\circ = 54,5 \text{ кДж} / 585 \text{ К}$$

$$\Delta H_{\text{дис.}} \Delta H_{\text{SiH}_2}^\circ (0^\circ \text{ Нес.}, 1981) \text{ в } 100 \text{ кДж} (\text{YANAF}) \text{ получим}$$

$$\Delta_2 H_{\text{SiH}_2}^\circ = 65,4 \text{ кДж} / 585 \text{ К} = 110,3 \pm 1,5 \text{ кДж/К}$$

*SiH<sub>2</sub>*

*011 30406*

*1986*

16 Б4014. Абсолютная константа скорости реакции  $\text{SiH}_2 + \text{D}_2$ . Absolute rate constant for the reaction  $\text{SiH}_2 + \text{D}_2$ . Jasinski Joseph M. «J. Phys. Chem.», 1986, 90, № 4, 555—557 (англ.)

Методом лазерной импульсной кинетич. спектроскопии и резонансного поглощения выполнено прямое определение константы скорости расходования  $\text{SiH}_2$  в бимолек. р-ции  $\text{SiH}_2 + \text{D}_2 \rightarrow \text{SiH}_2\text{D}_2^*$  → продукты. Константа скорости, определенная в условиях псевдопервого порядка по  $\text{SiH}_2$ , составляет  $k = (2,6 \pm 0,7) \cdot 10^{-12} \text{ см}^3/(\text{молекула} \cdot \text{с})$  при 300 К, что на порядки величины превышает значения, полученные косвенными методами. Сравнение  $k$  с рассчитанными значениями константы показало, что энергия активации не превышает 1 ккал/моль и теплота образования  $\text{SiH}_2$  находится в пределах 58,0—68,1 ккал/моль.

Л. Ю. Русин

*X. 1986, 19, N 16.*

$\text{SiH}_2^+$

1986

105; 178719r Ab initio potential energy surfaces for silylenium ( $\text{SiH}_2^+$ ). Hirst, David M.; Guest, Martyn F. (Dep. Chem., Univ. Warwick, Coventry, UK CV4 7AL). *Mol. Phys.* 1986, 59(1), 141-50 (Eng.). Potential surfaces for  $\text{SiH}_2^+$  were calcd. by an ab-initio CI method. Contour diagrams for the  $\tilde{X}^2A_1$  and  $\tilde{A}^2B_1$  surfaces show that in each case the entrance valley is sepd. from the equil. configuration by a substantial energy barrier. For collinear geometries however, there is only a very small activation barrier in addn. to the endothermicity for the reaction  $\text{Si}^+ + \text{H}_2 \rightarrow \text{SiH}^+ + \text{H}$ . Bending and stretching potential-energy curves are presented for the  $\tilde{X}^2A_1$  and  $\tilde{A}^2B_1$  states.

prop. sacrem  
nominis.  
no repnx.

C.A. 1986, 105, n20

*SiH<sub>2</sub>*

ОТ. 24063 1986

17 Б3032. Сродство к протону и теплота образования силилена. Proton affinity and heat of formation of silylene. Shin S. K., Beauchamp J. L. «J. Phys. Chem.», 1986, 90, № 8, 1507—1509 (англ.)

Из измеренных методом ИЦР кинетич. и термохим. параметров р-ций переноса протона от  $\text{SiH}_3^+$  к основаниям с известной силой для сродства к протону силилена получено значение  $201,3 \pm 3$  ккал/моль. Это значение дает  $\Delta_f H^\circ (\text{SiH}_2, 298 \text{ K}) = 69 \pm 3$  ккал/моль, что на 11 ккал/моль выше принятой ранее величины, но хорошо согласуется с рекомендованным на основе теорет. расчетов значением 68,1 ккал/моль.

По резюме

*X.1986, 19; N17*

071  
24063

1986  
 $\text{SiH}_2$   $\Delta H_{298}^{\circ} = 69 \pm 3 \text{ kJ/mol}$ ;  $= 289 \pm 12 \text{ kJ/mol}$  (уровень 245,3 ± 15  
Кириллица)

skin SK.

J. Phys., Chem., 1986, 90, N<sup>o</sup> 1502

Чисогиевския результат

Чисогиев спроще  $\text{SiH}_2$  в  $\text{K}^+$

последовательно  
если

то есть не изменяется

из согласия с теорией, предсказ

PCA

24063

*SiH<sub>2</sub>*

*Он 30 411*

*1986*

22 Б4054. Механизм и кинетика распада силана в ударных волнах. Вотинцев В. Н., Заслонко И. С., Михеев В. С., Смирнов В. Н. «Кинет. и катал.», 1986, 27, № 4, 972—976

Атомно-абсорбционным и хемилюминесцентным методами изучена кинетика распада SiH<sub>4</sub> за ударными волнами в области т-р 1400—1800 К, со смесями, содержащими 0,0004—0,001% SiH<sub>4</sub> в Ar с добавками 0—5% N<sub>2</sub>O. Распад SiH<sub>4</sub> протекает в две стадии: SiH<sub>4</sub> → → SiH<sub>2</sub> + H<sub>2</sub> (1), SiH<sub>2</sub> → Si + H<sub>2</sub> (2). Путем сопоставления эксперим. данных с расчетами по теории РРКМ получены значения энергетич. барьеров  $E_1 = 270$ ,  $E_2 = 167$  кДж/моль, на основе которых сделаны оценки энталпий образования радикала SiH<sub>2</sub> и прочности связей H<sub>2</sub>Si—H и HSi—H.

Автореферат

X. 1986, 19, N 22.

$\text{SiH}_2^+$

On 30407

1987

106: 128479n Photoionization mass spectrometric studies of silylidyne, silylene, silyl, and silane ( $\text{SiH}_n$  ( $n = 1-4$ )). Berkowitz, J.; Greene, J. P.; Cho, H.; Ruscic, B. (Phys. Div., Argonne Natl. Lab., Argonne, IL USA). *J. Chem. Phys.* 1987, 86(3), 1235-48 (Eng). A photoionization mass spectrometric study of  $\text{SiH}_4$  at 150 K reveals the presence of  $\text{SiH}_4^+$  with an adiabatic threshold at  $11.00 \pm 0.02$  eV. The implications for the structure of this Jahn-Teller split state are discussed. The appearance potentials of  $\text{SiH}_2^+$  and  $\text{SiH}_3^+$  are  $11.54 \pm 0.01$  eV and  $\leq 12.086$  eV, resp. The reaction of F atoms with  $\text{SiH}_4$  generates  $\text{SiH}_3$  ( $X^2A_1$ ),  $\text{SiH}_2$  ( $X^1A_1$  and  $a^3B_1$ ), and  $\text{SiH}$  ( $X^2\Pi$ ) in sufficient abundance for photoionization studies. The measured adiabatic ionization potentials (eV) are:  $\text{SiH}_3$ ,  $8.01 \pm 0.02$ ;  $\text{SiH}_2$  ( $X^1A_1$ ),  $9.15 \pm 0.02$  or  $9.02 \pm 0.02$ ;  $\text{SiH}_2$  ( $a^3B_1$ ),  $8.24 \pm 0.02$ ;  $\text{SiH}$ ,  $7.91 \pm 0.01$ . The singlet-triplet splitting in  $\text{SiH}_2$  is either  $0.78 \pm 0.03$  or  $0.91 \pm 0.03$  eV. The dissocn. energy of  $\text{SiH}$  is  $2.98 \pm 0.03$  eV. A Rydberg series is obsd., converging to  $\text{SiH}^+$  ( $a^3\Pi$ ) at  $10.21 \pm 0.01$  eV. Heats of formation of the various neutral and ionic species are presented, as are the stepwise bond energies of  $\text{SiH}_4$ .

(AP)

77

127

$\text{SiH}_3^+$

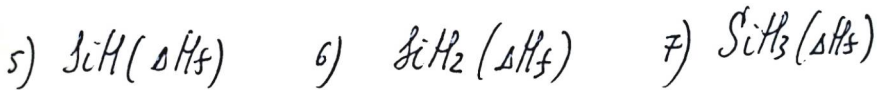
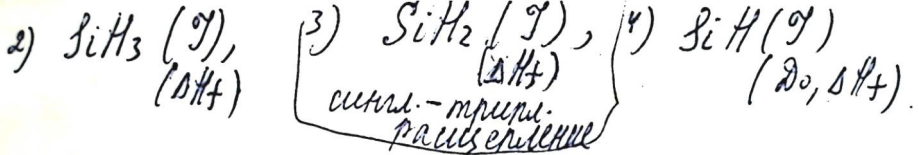
(AP)

III

act. 1/2

88

C. A. 1987, 106, N 16.



$\text{SiH}_2$   
 $\text{SiH}_2^+$

(OM. 28968) 1987  
Boo Bong Kyun,  
Armentrout P.B.

$\Delta H_f$

J. Amer. Chem. Soc.,  
1987, 109, N12, 3549 -  
3559.

(cal.  $\text{SiH}_n$ ; I)

*SiH<sub>2</sub>*

OT. 27310  
OT. 27380

*Dff<sup>0</sup>*

27310, OT. 27380 1987

5 Б4087. Кинетика разложения дисилана и теплота образования силилена. The decomposition kinetics of disilane and the heat of formation of silylene. Martin J. G., Ring M. A., O'Neal H. E. «Int. J. Chem. Kinet.», 1987, 19, № 8, 715—725 (англ.)

В статических условиях с использованием метода ГХ изучена кинетика р-ции  $\text{Si}_2\text{H}_6 \rightarrow \text{SiH}_2 + \text{SiH}_4$  (1) при 538—587 К и общем давл. 10 (чистый  $\text{Si}_2\text{H}_6$ ), 150 и 500 Торр ( $\text{Si}_2\text{H}_6$  14,3% в пропане или 2,08% в Ar). Обнаружено, что константа скорости р-ции при увеличении общего давл. в 50 раз возрастает на 40%. Наилучшее теорет. описание эксперим. данных в рамках метода РРКМ достигнуто с использованием аррениусовских параметров:  $\lg A_{1\infty} = 15,75$  и  $E_{1\infty} = 52\,200$  кал., что дает для теплоты образования силилена  $\Delta H_f^\circ$  ( $\text{SiH}_2$ )<sub>298</sub> величину, равную  $63,5 - E_{b,c}$  ккал/моль, где  $E_{b,c}$  — энергия активации р-ции (—1). Из ранее опуб-

X. 1988, 19, N 5

ликованных кинетич. данных для р-ций  $\text{MeSi}_2\text{H}_5 \rightarrow \text{MeSiH}_3 + \text{SiH}_2$  (2),  $\text{Si}_3\text{H}_8 \rightarrow \text{Si}_2\text{H}_6 + \text{SiH}_2$  (3) и  $\text{SiH}_2 + \text{H}_2 \rightarrow \text{SiH}_4$  (4) получены для  $\Delta H_f^\circ(\text{SiH}_2)_{298}$  величины от  $63,9 - E_{b,c}$  до  $66 - E_{b,c}$  ккал/моль. В связи с тем, что для р-ций (—2) — (—4)  $E_{b,c} \approx 0$ , полученное среднее значение  $\Delta H^\circ(\text{SiH}_2)_{298}$  составляет  $64,3 \pm 0,3$  ккал/моль. Библ. 22.

А. М. Сахаров



SING (~) NFT 059125869

1982

Walsh R.

Pure Appl. Chem., 1987, 59, N1, 69-72  
Derivation of thermodynamic quantities  
from kinetic measurements

E.C.R

$\text{SiH}_2$  PM-288901 1988

$\text{SiH}_2^+$  Curtiss L.A., Pople J.A.,

$\Delta_f H^\circ$ ,  
meop.  
pacem

Chem. Phys. Lett.,  
1988, 144, N1, 38-42.

$\text{SiH}_2$

(M. 29399)

1988

$\text{Si}(\text{I}) + \text{H}_2(^1\Sigma_g)$  Francisco J.S., Barres R., et al.,

J. Chem. Phys., 1988,  
88, N 4, 2384 - 2391.

LHe

07-29054

1988

Horowitz D.S., Pachter M.A.

J. Mol. Struct. Theorchem.,

1988, 163, 207-237.

D<sub>2</sub>

df/1

*SiH<sub>2</sub>*

*От 30 410*

*1988*

4 Б4448. Образование Si(<sup>1</sup>D<sub>2</sub>) из электронно-возбужденного SiH<sub>2</sub>. Production of Si(<sup>1</sup>D<sub>2</sub>) from electronically excited SiH<sub>2</sub> / Van Zoeren C. M., Thoman J. W., Jr., Steinfeld J. I., Rainbird M. W. // J. Phys. Chem.— 1988. — 92, № 1.— С. 9—11.— Англ.

Методом лазеро-индуцированной Фл наблюдали образование атомов Si(<sup>1</sup>D<sub>2</sub>) при фотодиссоциации (ФД) SiH<sub>2</sub> светом с длинами волн от 542 до <445 нм. Генерацию SiH<sub>2</sub> производили путем ИК-многофотонной диссоциации и-бутилсилана при давл. <7 мТорр в проточных условиях сфокусированным излучением 944 см<sup>-1</sup> импульсного лазера на CO<sub>2</sub> (флюенс в фокальном пятне 5 Дж/см<sup>2</sup>). Фотовозбуждение SiH<sub>2</sub> в переходе  $\tilde{A}^1B_1 \leftarrow \tilde{X}^1A_1$  производили перестраиваемым широкополосным

*X. 1989, N 4*

лазером на красителе (спектральная ширина 2—4 нм).  
ФД SiH<sub>2</sub> на Si(<sup>1</sup>D<sub>2</sub>) + H<sub>2</sub> происходит при возбуждении  
высоких деф. кол. уровней SiH<sub>2</sub> ( $\tilde{A}^1B_1$ ). Порог процесса  
соответствует промежутку между уровнями  $v'_2 = 6$  и 7.  
Получена теплота образования  $\Delta H_f^\circ = 65,4 \pm 1,6$  ккал/  
моль. Скорее всего, SiH<sub>2</sub> диссоциирует преимуществен-  
но с высоких вращат. уровней состояний SiH<sub>2</sub> ( $\tilde{A}^1B_1$ ,  
 $v'_2 > 6$ ). В. Е. Скурат

*SiH<sub>2</sub>*

*On. 30410*

*1988*

108: 46224c Production of silicon(<sup>1</sup>D<sub>2</sub>) from electronically excited silylene. Van Zoeren, Carol M.; Thoman, J. W., Jr.; Steinfeld, J. I.; Rainbird, Mark (Dep. Chem., Massachusetts Inst. Technol., Cambridge, MA 02139 USA). *J. Phys. Chem.* 1988, 92(1), 9-11 (Eng). Si(<sup>1</sup>D<sub>2</sub>) was detected by at. laser-induced fluorescence following photoexcitation of SiH<sub>2</sub> into high bending vibrational levels of the A<sup>1</sup>B<sub>1</sub> state. The Si(<sup>1</sup>D<sub>2</sub>) + H<sub>2</sub> channel appears to open between  $v_2' = .6$  and 7, establishing  $\Delta H_f^\circ(\text{SiH}_2) = 65.4 \pm 1.6 \text{ kcal mol}^{-1}$ . SiH<sub>2</sub> apparently dissociates preferentially from high rotational levels of the A.  $v_2' > 6$  states.

*HfH<sup>0</sup>*

C.A. 1988, 108, N6

*SiH<sub>2</sub>*

1989

23 Б4035. Множественность путей прямого образования SiH<sub>2</sub> при фотодиссоциации этилсилана. Multiple pathways for direct formation of SiH<sub>2</sub> from the photodissociation of ethylsilane / Gonzales C., Schlegel H. B., Francisco J. S. // Mol. Phys.— 1989.— 66, № 4.— С. 859—862.— Англ.

Квантовохимические расчеты с использованием метода слежения по координате р-ции показывают, что перв. фотодиссоциация этилсилана  $C_2H_5SiH_3 \rightarrow C_2H_6 + SiH_2$  (1) может протекать по двум каналам с высотами барьеров 395,7 кДж/моль для одной структуры переходного состояния и на ~42 кДж/моль меньшей для др. структуры. Различие в каналах фотохим. р-ции (1) состоит в ориентации, в к-рой отщепляется SiH<sub>2</sub>. Обсуждается значение полученных результатов для выяснения динамики р-ций ИК-многофотонной диссоциации алкилсиланов.

А. М. Сахаров

XX. 1989, N 23

*SiH<sub>2</sub>*

*1989*

112: 241094v Kinetic and thermodynamic theoretical study on reaction (<sup>1</sup>A<sub>1</sub>)SiH<sub>2</sub> + H<sub>2</sub> → SiH<sub>4</sub>. Ju, Guanzhi; Yang, Yuwei; Ma, Wanyong. (Theor. Chem. Lab., Shangdon Univ., Jinan, Peop. Rep. China). *Huaxue Wuli Xuebao* 1989, 2(1), 7-13 (Ch). The SCF ab initio method was used to treat the reactants, product, and transition state of the title insertion reaction. The configurations of each species were optimized with 3-21G basis set, and the vibrational frequencies for the configuration were calcd. The transition state entropy change  $\Delta S^\ddagger$  and reaction rate const. wa calcd. with the Eyring transition state theory. The neg.  $\Delta S^\ddagger$  means the reaction passes through a tight transition state. The rate const.  $k(298K) = 6.2357 \times 10^{-15}$  l mol<sup>-1</sup>s<sup>-1</sup> agrees with the exptl. result by Inoue (1935). The enthalpy, free energy, equil. const. were calcd. This reaction is exothermic and spontaneous.

(SH, SF, kg)

C.A. 1990, 112, N 26

$\text{SiH}_2$  1989  
O'Neal H.E., Ring M.A.  
et al.

Organometallics. 1989.

8, N 8.C. 1968 - 1973.

(Cer.  $\bullet$   $\text{Me}_6\text{Si}_2$ ; I)

$\text{SiH}_2$  (OM 34479) 1990  
Ignacio E.W., Schlegel H.B.

$\Delta H_f$  J. Chem. Phys. 1990, 92,  
N.G. C. 5404-5416.

(c.c.p.  $\bullet \text{SiH}_2^-$ )

$\text{SiH}_2^+$

1992

Brev R.S., Schaefer H.F., III

J. Chem. Phys. 1992, 97(11),

( $\Delta_f H$ ) 8389 - 406 :

(all.  $\text{CH}_n$ ;  $n=0 \div 4$  ; T)

$\text{SiH}_2$

On 36903

1992

117: 158416j Determination of the Arrhenius parameters for disilane  $\rightleftharpoons$  silane + silicon dihydride and  $\Delta H^\circ_f$ ( $\text{SiH}_2$ ) by RRKM analysis for forward and reverse reaction rate data. Moffat, Harry K.; Jensen, Klavs F.; Carr, Robert W. (Dep. Chem. Eng. Mater. Sci., Univ. Minnesota, Minneapolis, MN 55455 USA). *J. Phys. Chem.* 1992, 96(19), 7683-95 (Eng). Arrhenius parameters for disilane dissociation are estd. by direct regression of RRKM-derived predictions of exptl. data for both the forward unimol. and reverse assocn. reaction. Lab. kinetic data at 300-1005 K and 1-2500 Torr were employed to find a predictive RRKM model. The model was further fit by the empirical  $F_{\text{cont}}$  method to yield a facile computational model for accurate prediction of the rate coeff. over a wide range of exptl. conditions. The high-pressure Arrhenius expression,  $\log k(T) = (15.73 \pm 0.30) - (52.07 \pm 0.75) \text{ kcal mol}^{-1}/2.3RT$  at 500 K, is recommended. The best fit value of  $\Delta H^\circ_{f,\text{exp}}(\text{SiH}_2)$ , which was treated as a parameter in the regression procedure based on the disilane reaction alone, was  $64.4 \pm 1.0 \text{ kcal mol}^{-1}$ , with the major source of uncertainty being in the temp. extrapolation of the high-pressure rate consts.

$(\Delta_f H^{\circ})$

C.A. 1992, 117, N 16

*SiH<sub>2</sub>*

1992

J 3 E417. Измерение плотности SiH<sub>2</sub> в силановой плазме ВЧ-разряда, используемого при химическом осаждении из паров аморфных пленок гидрогенизированного кремния. Measurement of SiH<sub>2</sub> densities in an RF-discharge silane plasma used in the chemical vapor deposition of hydrogenated amorphous silicon film / Tachibana Kumihide, Shirafuji Tatsuru, Matsui Yasuji // Jap. J. Appl. Phys. Pt 1 — 1992 .— 31 , № 8 .— С. 2588—2591 .— Англ.

*Sp*  
Методом лазерной абсорбционной спектроскопии измерены плотности силиленовых радикалов (SiH<sub>2</sub>) в типичной системе для усиленного радиочастотной (13,56 МГц) плазмой химич. осаждения с парал. электродами, которая используется для получения аморфных пленок гидрогенизированного Si. С использованием двух разных способов калибровки получены аbs. конц-ии, меняющиеся в зависимости от вводимой мощности и парциального.

оф. 1993, № 3

давления силана ( $\text{SiH}_4$ ) в диапазоне  $2 \cdot 10^8$ — $6 \cdot 10^9 \text{ см}^{-3}$ . Измерением пространств. распределения  $\text{SiH}_2$  в межэлектродном пространстве найдено, что поток  $\text{SiH}_2$  на заземленный электрод меньше  $10^{13} \text{ см}^{-2} \text{ с}^{-1}$  и, следовательно, его прямой вклад в процесс осаждения пленки мал, хотя радикалы  $\text{SiH}_2$  играют важную роль в газофазных реакциях. Библ. 24.

В. И. Т.

Siff

[Dn. 37950]

1995

Rosa Becerra, H. Monty Frey,  
Ben P. Mason et al.

(45H)

J. Chem. Soc. Faraday  
Trans., 1995, 91 (17), 2723 -  
2732.

*SiH<sub>2</sub>*

*1996*

124: 213010u Evaluation of the kinetic and thermochemical parameters of the  $\text{SiH}_4 \rightarrow \text{SiH}_2 + \text{H}_2$  and  $\text{Si}_2\text{H}_6 \rightarrow \text{SiH}_2 + \text{SiH}_4$  reactions from the results of shock-tube measurements. Mick, H. J.; Roth, P.; Smirnov, V. N. (Inst. Combustion Gas Dynamics Duisburg Univ., 47057 Duisburg, Germany). *Kinet. Catal. (Transl. of Kinet. Katal.)* 1996, 37(1), 1-12 (Eng). The rate const. for disilane decompr. is measured behind reflected shock waves over the temp. range 1070-1390 K at pressures of 0.3-1.3 atm by means of absorption spectrophotometry of SiH<sub>2</sub> radicals at  $\lambda = 579.35$  nm. RRKM anal. is used to examine the results of silane and disilane decompr. behind shock waves in highly dild. mixts. The state counts for the [SiH<sub>2</sub>-H<sub>2</sub>]<sup>+</sup> and [SiH<sub>4</sub>-SiH<sub>2</sub>]<sup>+</sup> transition states and the state densities for reacting SiH<sub>4</sub><sup>•</sup> and Si<sub>2</sub>H<sub>6</sub><sup>•</sup> mols. are calcd. employing the inverse Laplace transform and represented by fifth order polynomials. These values, in conjunction with the weak-collision efficiencies  $\beta_c(\text{SiH}_4-\text{Ar}) = 0.04(1000/T)$  and  $\beta_c(\text{Si}_2\text{H}_6-\text{Ar}) = 0.051(1000/T)^{1.5}$ , permit the calcn. of the decompr. rate consts. for SiH<sub>4</sub><sup>•</sup> and Si<sub>2</sub>H<sub>6</sub><sup>•</sup> over a wide range of conditions. The RRKM model developed in this work satisfactorily describes our exptl. results and the majority of the literature data. The changes of enthalpy in the reactions of silane and disilane decompr. are used to evaluate the enthalpy of the formation of the SiH<sub>2</sub> radical:  $\Delta H^{\circ f, o}(\text{SiH}_2) = 287.6$  kJ/mol and  $\Delta H^{\circ f, o}(\text{SiH}_2) = 274.71$  kJ/mol are found from silane and disilane decompr. data, resp.; possible reasons for the discrepancy between these values are discussed.

*1996*

C. A. 1996,  
12Y, n16

5/12

1997

(ASH)

MENOS -  
RACIMA

128: 286944u Quantum chemistry: a review of AB initio methods and their use in predicting thermochemical data for CVD processes. Melius, C. F.; Allendorf, M. D.; Colvin, M. E. (Sandia National Laboratories, Livermore, CA 94551-0969 USA). *Proc. - Electrochem. Soc.* 1997, 97-25(Chemical Vapor Deposition), 1-14 (Eng), Electrochemical Society. A review with 50 refs. Thermochem. and kinetic data for gas-phase compds. present in CVD processes are essential for developing useful computational models. Quantum-chem. methods can be used to predict accurate heats of formation and activation energies when exptl. data are not available. This paper reviews the primary quantum-chem. techniques currently used to predict these energies, including electron-correlation methods (such as Moller-Plesset perturbation theory, coupled-cluster theory, and d.-functional theory) and composite methods (such as the G2, bond-additivity correction (BAC), and complete basis set methods). The capabilities of these methods are illustrated by calcns. of the heats of formation for SiH<sub>4</sub>, SiH<sub>3</sub>, and SiH<sub>2</sub> and by a discussion of the potential-energy diagram predicted for the reaction of SiH<sub>2</sub> with NH<sub>3</sub>.



(+2)

C.A. 1998, 128, N23

Silk

OM 40051

1945

David Feller and David A. Dixon,

J. Phys. Chem. A1999,  
103, 8413-8419

$\Delta H_f$   
meep.  
part

F: SiH<sub>2</sub>

P: 1

131:175764      Theoretical Study of the Heats of  
Formation of Small Silicon- Containing Compounds.

1999

Feller, David; Dixon, David A.

(Environmental Molec Sciences Laboratory, Pacific Northwest National Laboratory, Richland, WA USA).

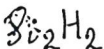
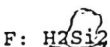
J. Phys. Chem. A, 103(32), 6413-6419 (English) 1999  
Heats of formation for nine small silicon-contg.  
mols. were obtained from large basis set ab initio  
calcns. using coupled cluster theory with a  
perturbative treatment of triple excitations.  
After adjusting the atomiz energies for the finite  
basis set truncation error, core/valence correlat  
scalar relativistic, higher order correlation, and  
at. spin-orbit effects theor. and exptl. 0 K values  
of  $\Delta H_f$  values were in good agreement. 106.6

kcal/mol as the heat of formation of silicon, we obtain  $\Delta H_f$  v of SiH = 87.7  $\pm$  0.4 vs 89.5  $\pm$  0.7 (expt); SiH<sub>2</sub>(1A1) = 64.1  $\pm$  0.4 65.5  $\pm$  0.7 (expt); SiH<sub>2</sub>(3B1) = 85.4  $\pm$  0.4 vs 86.5  $\pm$  0.7 (expt); 47.3  $\pm$  0.5 vs 47.7  $\pm$  1.2 (expt); SiH<sub>4</sub> = 8.7  $\pm$  0.6 vs 9.5  $\pm$  0. (expt); Si<sub>2</sub> = 138.8  $\pm$  0.4 vs 139.2 (expt); Si<sub>2</sub>H<sub>6</sub> = 19.7  $\pm$  0.5 vs 20 0.3 (expt); SiF = -14.8  $\pm$  0.4 vs -5.2  $\pm$  3 (expt); SiF<sub>2</sub> = -151.7  $\pm$  vs -140.3  $\pm$  3 (expt); and SiF<sub>4</sub> = -384.5  $\pm$  0.9 vs -384.9  $\pm$  0.2 (e Based on the present work, we suggest a no. of revisions in the interpret of the exptl. data. Although a revision in  $\Delta H_f$ .degree.(Si) to 107. 0.6 kcal/mol at 0 K leads to improved agreement between theory and expt. SixHy compds., it worsens agreement for SiF<sub>4</sub>. Given the remaining uncert in the theor. approach, more definitive conclusions do not appear to be warranted.

---

*Si<sub>2</sub>H<sub>2</sub>*

*1999*



P: 3 01.05-19Б1.70. Поверхность потенциальной энергии для изомеров H[2]Si[2], исследованная неэмпирическим методом полного базиса. Potential energy surface for H[2]Si[2] isomer explored with complete basis set ab initio method / Jursic Branko S. // J. Mol. Struct. Theochem. - 1999. - 459, N 1-3. - С. 221-228. - Англ.

Синглетная и триплетная поверхности потенциальной энергии для изомеров H[2]Si[2] исследованы с использованием неэмпирической схемы полного базиса в варианте CBSQ. Локализованы минимумы на обоих поверхностях, определены относительная устойчивость соответствующих им структур и барьеры активации изомерных взаимопревращений. Показано, что наиболее устойчивыми изомерами являются структуры с мостиковым водородом.